

## ОСОБЕННОСТИ ПРОВОДИМОСТИ ГХ-СВЕРХРЕШЕТОК

Райчев О. Э.

Теоретически изучается прыжковый транспорт электронов вдоль оси сверхрешетки, образованной чередующимися слоями Г- и Х-полупроводников (например, GaAs/AlAs). Особенности транспорта в такой ГХ-сверхрешетке связаны с возможностью ГХ-переноса электронов между прилегающими слоями структуры. Такой перенос не связан с туннелированием через потенциальные барьеры, поэтому его вклад в полный ток может быть весьма значительным. Получена формула, описывающая ток за счет ГХ-переноса, и показано, что условия, в которых этот ток является главным, могут реализоваться при увеличении толщины потенциальных барьеров, температуры и электрического поля. Проведен расчет зависимости тока через сверхрешетку GaAs/AlAs от температуры и от напряженности электрического поля. В условиях, когда ток ГХ-переноса доминирует, зависимость проводимости сверхрешетки от температуры носит активационный характер.

1. В последнее время большое внимание уделяется изучению эффектов переноса электронов в гетероструктурах, образованных полупроводниками с различной энергетической последовательностью долин, а именно в ГХ-гетероструктурах. Наиболее известными и изученными ГХ-гетероструктурами являются структуры на основе гетеропар GaAs/AlAs или GaAs/Al<sub>x</sub>Ga<sub>1-x</sub>As при  $x > 0.45$ . Интерес к таким системам вызван главным образом тем, что транспорт электронов в них может осуществляться за счет переноса электронов между Г-состояниями Г-полупроводника (GaAs) и Х-состояниями Х-полупроводника (AlAs или Al<sub>x</sub>Ga<sub>1-x</sub>As). Именно этот так называемый ГХ-перенос определяет проводимость одиночного ГХ-гетероперехода [1-4]; а для структур, содержащих один или несколько слоев Х-полупроводника, вклад ГХ-переноса в проводимость растет по мере увеличения толщин указанных слоев и становится весьма существенным при толщинах около 40 Å [5, 6], см. также [7-11].

В настоящей работе теоретически изучается транспорт электронов в периодической ГХГХ...-структуре, т. е. сверхрешетке (СР), образованной чередующимися слоями Г- и Х-полупроводников с толщинами  $l_1$  и  $l_2$  соответственно (рис. 1). Электрическое поле  $E$  считается направленным вдоль оси СР, т. е. перек слоев. Потенциальные ямы для Г-электронов в такой СР являются барьерами для Х-электронов и, наоборот, ямы для Х-электронов являются барьерами для Г-электронов. Структура считается выращенной в кристаллографическом направлении (100), так что, вообще говоря, следует различать Х-электроны в долине с осью большой массы, ориентированной вдоль оси СР (в дальнейшем  $X_1$ -электроны), и Х-электроны в двух долинах, ориентированных в плоскости слоев ( $X_2$ -электроны). Мы будем рассматривать СР с достаточно широкими слоями: такими, чтобы по крайней мере для первых подзон удовлетворились сильные неравенства

$$\gamma_{n\mathbf{k}}^{\lambda} \ll \hbar/\tau_{n\mathbf{k}}^{\lambda}, \quad (1)$$

где  $\gamma_{n\mathbf{k}}^{\lambda}$  — полуширина  $n$ -й мини-зоны СР (в отсутствие рассеяния!), а  $\tau_{n\mathbf{k}}^{\lambda}$  — характерное время рассеяния электрона. Здесь  $\mathbf{k}$  — продольный волновой вектор электрона, индекс  $\lambda$  нумерует тип долины Г,  $X_1$  и  $X_2$ . Следует подчеркнуть, что в условиях (1), когда понятие сверхрешеточной мини-зоны фактически теряет смысл, величины  $\gamma_{n\mathbf{k}}^{\lambda}$ , кроме условного смысла полуширин мини-зон в отсутствие рассеяния, имеют и прямой физический смысл как матричные элементы

туннелирования между состояниями  $|\lambda, n, k\rangle$  соседних квантовых ям СР. Напомним, что именно такой смысл имеют ширины зон в формализме метода сильной связи. Отметим также, что при увеличении  $l_1$  и  $l_2$  величины  $\gamma_{nk}^\lambda$  экспоненциально уменьшаются, и уже при  $l_1=40$ ,  $l_2=30$  Å для первых мини-зон имеем  $\gamma_{1k}^\Gamma \approx 0.6$  мэВ,  $\gamma_{1k}^X \approx 0.8$  мэВ,  $\gamma_{1k}^X \ll \gamma_{1k}^\Gamma$  (здесь и далее все оценки и численные расчеты относятся к СР GaAs/AlAs, параметры которой указаны на рис. 1 и в подписи к нему). Поскольку  $\hbar/\tau_{nk}^\lambda \sim 1-3$  мэВ, условия (1) можно считать выполнеными в широком интервале значений  $l_1$  и  $l_2$ .

Если сильные неравенства (1) выполнены, то электроны в СР являются локализованными в том смысле, что длина когерентности волновой функции электрона не превышает размера периода СР. Поэтому при прохождении тока через СР достаточно ограничиться рассмотрением элементарного участка СР яма—

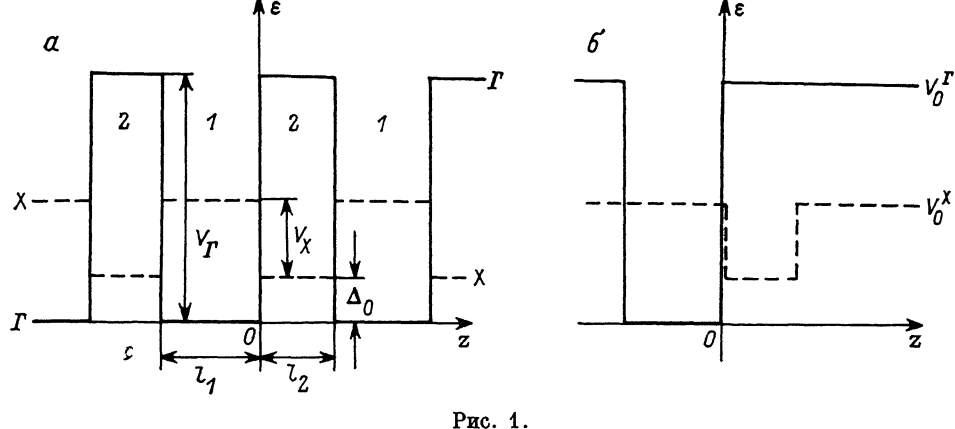


Рис. 1.

*a* — потенциальная диаграмма ГХ-сверхрешетки. Энергетические зазоры  $V_\Gamma$ ,  $V_X$ ,  $\Delta_0$  для гетеросистемы GaAs/AlAs равны соответственно 1.04, 0.3, 0.18 эВ. Эффективные массы Г-электронов  $m_\Gamma(z)$  в областях 1 (GaAs) и 2 (AlAs):  $m_{1\Gamma}=0.067$ ,  $m_{2\Gamma}=0.15$ . Продольные  $M_X(z)$  и поперечные  $m_X(z)$  эффективные массы X-электронов:  $M_{1X}=1.3$ ,  $m_{1X}=0.23$ ;  $M_{2X}=1.1$ ,  $m_{2X}=0.19$  (все массы выражены в отношении к массе свободного электрона). *б* — потенциальные профили одиночных квантовых ям для Г- и X-электронов, используемые при расчетах спектров и огибающих.

барьер—яма [12, 13]. Скорость переноса электронов между соседними ямами и будет определять ток в СР. Этот ток можно вычислить по теории возмущений, аппроксимируя волновые функции электронов в нулевом приближении волновыми функциями для одиночных квантовых ям, а эффекты рассеяния и туннелирования через барьера считать возмущением. Картину транспорта электронов в СР в условиях (1) можно представить следующим образом. Электрон, попадая в одну из квантовых ям структуры, многократно рассеивается в ней и термализуется, после чего совершает прыжок в следующую яму и т. д. Такие прыжки могут быть двух типов. Первый тип соответствует процессу первого порядка теории возмущений: электрон совершает переход между состояниями в соседних квантовых ямах за счет рассеяния. Эти процессы рассматривались в работе [14]. Другой тип прыжков — процессы второго порядка: электрон сначала туннелирует через барьер без рассеяния, попадая в виртуальное состояние, а затем рассеивается в реальное состояние уже без изменения номера ямы (или в обратном порядке). Такие процессы рассматривались в работе [12].

Описанные выше прыжки происходят с сохранением типа долины, и их вероятность пропорциональна малой туннельной экспоненте, соответствующей преодолению потенциального барьера. В ГХ-гетероструктурах, кроме рассмотренного механизма однодолинных прыжков, существует иной механизм транспорта — за счет ГХ-переноса. При этом электрон совершает междудолинные ГХ-прыжки между прилегающими слоями Г- и X-полупроводников. Вероятность таких прыжков пропорциональна малому коэффициенту ГХ-конверсии на гетерогранице, но не содержит указанной туннельной экспоненты. Поэтому вклад ГХ-конверсионного тока в полный ток через СР может быть весьма зна-

чительным. Естественно, что для этого требуется, чтобы в процессах ГХ-переноса могло участвовать достаточно много электронов.

2. В дальнейшем мы для определенности будем рассматривать ГХ-СР, для которых энергии квантования нижайшей подзоны Г-электронов лежат заметно ниже энергий квантования нижайших подзон  $X_1$ - и  $X_2$ -электронов. В этих условиях Г-электроны являются основными носителями. (Противоположный случай, когда Г-подзоны лежат выше  $X$ -подзон, может реализоваться лишь при весьма малых толщинах Г-слоев:  $l_1 \leq 30 \text{ \AA}$ , см. [15]). Ток через СР является суммой двух компонент: однодолинного тока Г-электронов  $j_g$  и междолинного тока ГХ-конверсии  $j_{gx}$ . Задача настоящей работы — вычисление тока  $j_{gx}$ , сравнение  $j_{gx}$ ,  $j_g$  и определение условий, в которых ток  $j_{gx}$  является главным. Для упрощения вычисления токов ограничимся случаем, когда электрическое поле  $E$  не очень сильное и выполняются условия

$$eEd \ll \epsilon_{n+1\mathbf{k}}^{\Gamma} - \epsilon_{n\mathbf{k}}^{\Gamma}, \quad (2)$$

где  $\epsilon_{n\mathbf{k}}^{\Gamma}$  — спектры размерного квантования (при  $E=0$ ),  $e$  — заряд электрона,  $d=l_1+l_2$  — период СР. При этом можно пренебречь влиянием поля на спектры и волновые функции Г- и  $X$ -электронов, а также на матричные элементы туннелирования (см. далее). Кроме того, условия (2) позволяют пренебречь вкладом в  $j_g$  за счет прыжков через барьер с рассеянием (прыжки «первого типа», см. раздел 1). Аналогичная ситуация имеет место и при резонансном туннелировании в СР [12]. Итак, ток  $j_g$  определяется процессами второго порядка теории возмущений «туннелирование+рассеяние». Вычислим этот ток в условиях, когда температура электронного газа (или энергия Ферми для вырожденного случая) много меньше разности энергий квантования  $\epsilon_{2\mathbf{k}}^{\Gamma} - \epsilon_{1\mathbf{k}}^{\Gamma}$ . При этом можно ограничиться рассмотрением транспорта только по первым подзонам:  $n=1$ . Имеем

$$j_g = 2 \frac{e}{S} \sum_{\mathbf{k}, \mathbf{k}'} W_{1\mathbf{k}, 1\mathbf{k}'}^{\Gamma} f(\epsilon_{1\mathbf{k}}^{\Gamma}) (1 - f(\epsilon_{1\mathbf{k}'}^{\Gamma})) \left( 1 - e^{-\frac{eEd}{T}} \right), \quad (3)$$

где  $T$  — температура,  $f(\epsilon) = \left( \exp \frac{\epsilon - \zeta}{T} + 1 \right)^{-1}$  — фермиевская функция распределения,  $\zeta$  — химический потенциал, связанный с двумерной концентрацией Г-электронов  $n_s^{\Gamma}$  формулой

$$n_s^{\Gamma} = \frac{2}{S} \sum_{\mathbf{n}, \mathbf{k}} f(\epsilon_{n\mathbf{k}}^{\Gamma}), \quad (4)$$

$S$  — нормировочная площадь,  $W_{1\mathbf{k}, 1\mathbf{k}'}^{\Gamma}$  — вероятность перехода Г-электрона между состояниями  $|1\mathbf{k}\rangle$ ,  $|1\mathbf{k}'\rangle$  соседних ям. Учитывая взаимодействие электронов с примесями, получим

$$W_{1\mathbf{k}, 1\mathbf{k}'}^{\Gamma} = \frac{2\pi}{\hbar} \frac{1}{(eEd)^2 + \left( \frac{\hbar}{\tau_{1\mathbf{k}}} \right)^2} [ |V_{1\mathbf{k}, 1\mathbf{k}'}|^2 (\Omega_{1\mathbf{k}}^{\Gamma})^2 + |U_{1\mathbf{k}, 1\mathbf{k}'}|^2 (\Omega_{1\mathbf{k}'}^{\Gamma})^2 - 2 \Omega_{1\mathbf{k}}^{\Gamma} \Omega_{1\mathbf{k}'}^{\Gamma} |U_{1\mathbf{k}, 1\mathbf{k}'}|^2 ] \delta(\epsilon_{1\mathbf{k}}^{\Gamma} - \epsilon_{1\mathbf{k}'}^{\Gamma} + eEd). \quad (5)$$

Здесь  $\Omega_{n\mathbf{k}}^{\Gamma}$  — матричные элементы туннелирования между  $n$ -ми подзонаами соседних квантовых ям. В условиях (2)  $\Omega_{n\mathbf{k}}^{\Gamma} = \gamma_{n\mathbf{k}}^{\Gamma}/2$ . Величина  $1/\tau_{1\mathbf{k}}$ , входящая в энергетический знаменатель формулы (5), представляет собой обратное время релаксации разности фаз состояний первых подзон в соседних квантовых ямах [12]. Как видно из (5), учет этой величины существен лишь при малых полях. При этом

$$\frac{1}{\tau_{1\mathbf{k}}} = \frac{2\pi}{\hbar} \sum_{\mathbf{k}'} (|V_{1\mathbf{k}, 1\mathbf{k}'}|^2 - |U_{1\mathbf{k}, 1\mathbf{k}'}|^2) \delta(\epsilon_{1\mathbf{k}}^{\Gamma} - \epsilon_{1\mathbf{k}'}^{\Gamma}). \quad (6)$$

Матричные элементы рассеяния на заряженных примесях  $V_{1\mathbf{k}, 1\mathbf{k}'}$  выражаются формулой

$$|V_{1k, 1k'}|^2 = \frac{1}{S} \left( \frac{4\pi e^2}{\epsilon_0} \right)^2 \frac{1}{4((k - k')^2 + q_0^2)} \int_{-\infty}^{\infty} dz'' N_i(z'') \int_{-\infty}^{\infty} dz dz' \times \\ \times \exp[-\sqrt{(k - k')^2 + q_0^2}(|z - z''| + |z' - z''|)] F_{1k}^{\Gamma}(z) F_{1k'}^{\Gamma}(z) F_{1k}^{\Gamma}(z') F_{1k'}^{\Gamma}(z'), \quad (7)$$

где  $\epsilon_0$  — статическая диэлектрическая проницаемость,  $N_i$  — концентрация примесей, зависящая, вообще говоря, от поперечной координаты  $z$ ,  $q_0$  — обратный радиус экранирования кулоновского потенциала примеси,  $F_{nk}^{\Gamma}(z)$  — огибающие волновые функции квантованных Г-электронов, определяемые из уравнения

$$\left( -\frac{\hbar^2}{2} \frac{\partial}{\partial z} \frac{1}{m_{\Gamma}(z)} \frac{\partial}{\partial z} + \frac{\hbar^2 k^2}{2m_{\Gamma}(z)} + V_0^{\Gamma}(z) - \epsilon_{nk}^{\Gamma} \right) F_{nk}^{\Gamma}(z) = 0, \quad (8)$$

где  $V_0^{\Gamma}(z)$  — потенциал одиночной квантовой ямы для Г-электронов (рис. 1, б). Величины  $|U_{1k, 1k'}|^2$  выражаются формулой (7), в которой необходимо произвести замену под интегралами:  $F_{1k}^{\Gamma}(z') F_{1k'}^{\Gamma}(z') \rightarrow F_{1k}^{\Gamma}(z' - d) F_{1k'}^{\Gamma}(z' - d)$ .

Формула для тока  $j_{\Gamma}$  получена с использованием техники матрицы плотности. Эта техника аналогична применяемой в работе [12]. Предельное выражение  $j_{\Gamma}$  при  $(eEd)^2 \gg (\hbar/\tau_{1k})^2$  может быть получено с помощью обычной теории возмущений во втором порядке, а предельное выражение при  $(eEd)^2 \ll (\hbar/\tau_{1k})^2$  — с помощью формулы Кубо. В последнем случае

$$j_{\Gamma} = E \frac{4e^2 d}{S \hbar^2 T} \sum_k |\Omega_{1k}|^2 \tau_{1k} f(\epsilon_{1k}^{\Gamma}) (1 - f(\epsilon_{1k}^{\Gamma})). \quad (9)$$

Ток за счет ГХ-переноса выражается формулой, аналогичной формуле (3),

$$j_{GX} = 2 \frac{e}{S} \sum_{\substack{\lambda' \\ k, k'}} v_{\lambda'} W_{nk, n'k'}^{\Gamma\lambda'} f(\epsilon_{nk}^{\Gamma}) (1 - f(\epsilon_{n'k'}^{\Gamma})) \frac{1}{2} \left( 1 - e^{-\frac{eEd}{T}} \right). \quad (10)$$

Здесь индекс  $\lambda'$  нумерует  $X$ -долины —  $X_1$  и  $X_2$ ;  $v_{\lambda'}$  — число долин типа  $\lambda'$ :  $v_{X_1} = 1$ ,  $v_{X_2} = 2$ ;  $W_{nk, n'k'}^{\Gamma\lambda'}$  — вероятность ГХ-прыжка между прилегающими слоями СР, двойка в знаменателе отражает то обстоятельство, что длина междолинного прыжка составляет не период, а половину периода СР. Формула (10) получена в предположении, что частота рассеяния как Г-, так и  $X$ -электронов в соответствующих им квантовых ямах намного превосходит частоту ГХ-переноса между состояниями в этих ямах. Оценки показывают, что это справедливо, поскольку частота ГХ-переноса пропорциональна малому перекрытию волновых функций Г- и  $X$ -электронов вблизи гетерограницы [см. формулы (11), (12) далее].

Вероятность междолинных переходов  $W_{nk, n'k'}^{\Gamma\lambda'}$  определяется двумя основными механизмами ГХ-переноса на гетерогранице. Первый (динамический) механизм неоднократно обсуждавшийся в литературе [6–9, 16], характеризуется сохранением полной энергии и продольного волнового вектора  $k$  электрона, а необходимое для междолинного переброса приращение поперечного волнового числа достигается за счет взаимодействия с резкой гетерограницей. Для гетерограницы (100) этот механизм связывает Г-долину только с  $X_1$ -долиной.

Для количественного описания динамического механизма ГХ-переноса воспользуемся однопараметрической моделью Лью [7]. При этом вероятность перехода выражается формулой

$$W_{nk, n'k'}^{GX(d)} = \frac{2\pi a^2}{\hbar} |F_{nk}^{\Gamma}(0)|^2 |F_{n'k'}^{X_1}(0)|^2 \delta_{k, k'} \delta \left( \epsilon_{nk}^{\Gamma} - \epsilon_{n'k'}^{X_1} + \frac{eEd}{2} \right), \quad (11)$$

где  $F_{nk}^{\Gamma}(0)$ ,  $F_{n'k'}^{X_1}(0)$  — значения огибающих волновых функций Г- и  $X_1$ -электронов на гетерогранице  $z=0$  (рис. 1, б), а  $a$  — параметр модели. В дальнейшем мы будем использовать значение  $a=0.15 \text{ эВ}\cdot\text{\AA}$  [8].

Второй механизм ГХ-переноса связан с рассеянием электронов на междолинных X-фононах вблизи гетерограницы [3]. При этом электрон, рассеявшийся, может перейти из Г-долины Г-полупроводника в любую из X-долин X-полупроводника (и наоборот). Вероятность перехода дается выражением

$$W_{n,k,n'k'}^{\Gamma\lambda'}(SC) = \frac{\pi D_X^2}{\rho\omega_X S} \int_{-\infty}^{\infty} dz |F_{n,k}^{\Gamma}(z)|^2 |F_{n'k'}^{\lambda'}(z)|^2 \left[ (N_X + 1) \delta\left(\epsilon_{n,k}^{\Gamma} - \epsilon_{n'k'}^{\lambda'} - \hbar\omega_X + \frac{eEd}{2}\right) + N_X \delta\left(\epsilon_{n,k}^{\Gamma} - \epsilon_{n'k'}^{\lambda'} + \hbar\omega_X + \frac{eEd}{2}\right) \right]. \quad (12)$$

Здесь  $D_X$  — деформационный потенциал междолинного X-фонона,  $\omega_X$  — его частота,  $\rho$  — плотность,  $N_X = \left(\exp \frac{\hbar\omega_X}{T} - 1\right)^{-1}$ . Огибающие  $F_{n,k}^{X_1}(z)$ ,  $F_{n,k}^{X_2}(z)$  и спектры  $\epsilon_{n,k}^{X_1}$ ,  $\epsilon_{n,k}^{X_2}$ , фигурирующие в уравнениях (11), (12), находятся из уравнений

$$\left( -\frac{\hbar^2}{2} \frac{\partial}{\partial z} \frac{1}{M_X(z)} \frac{\partial}{\partial z} + \frac{\hbar^2 k^2}{2m_X(z)} + V_0^X(z) - \epsilon_{n,k}^{X_1} \right) F_{n,k}^{X_1}(z) = 0, \quad (13)$$

$$\left( -\frac{\hbar^2}{2} \frac{\partial}{\partial z} \frac{1}{m_X(z)} \frac{\partial}{\partial z} + \frac{\hbar^2}{2} \left( \frac{k_X^2}{M_X(z)} + \frac{k_y^2}{m_X(z)} \right) + V_0^X(z) - \epsilon_{n,k}^{X_2} \right) F_{n,k}^{X_2}(z) = 0, \quad (14)$$

где  $V_0^X(z)$  — потенциал одиночной квантовой ямы для X-электронов (рис. 1, б).

3. Вычислим ток  $j_{Tx}$ , используя формулы (10)–(12). Малосущественной зависимостью огибающих  $F_{n,k}^{\lambda}(z)$  от  $k$  будем пренебречь, а спектры квантованных Г- и X-электронов запишем в виде

$$\begin{aligned} \epsilon_{n,k}^{\Gamma} &\simeq \epsilon_n^{\Gamma} + \frac{\hbar^2 k^2}{2m_{1\Gamma}}, \quad \epsilon_{n,k}^{X_1} \simeq \epsilon_n^{X_1} + \frac{\hbar^2 k^2}{2m_{2X}}, \\ \epsilon_{n,k}^{X_2} &\simeq \epsilon_n^{X_2} + \frac{\hbar^2}{2} \left( \frac{k_X^2}{M_{2X}} + \frac{k_y^2}{m_{2X}} \right), \end{aligned} \quad (15)$$

где  $\epsilon_n^{\lambda}$  — энергии квантования при  $k=0$ .

Считая электронный газ в СР невырожденным, после несложных преобразований получим

$$\begin{aligned} j_{Tx} &= \frac{eD_X^2 m_{2X} n_S^{\Gamma}}{2\hbar^2 \rho \omega_X A_{\Gamma}} (2N_X + 1) \operatorname{sh}\left(\frac{eEd}{2T}\right) \sum_{n,n'} \left[ I_{n,n'}^{\Gamma X_1} \exp\left(-\frac{\epsilon_{n'}^{X_1} - \epsilon_1^{\Gamma}}{T}\right) + \right. \\ &+ 2 \sqrt{\frac{M_{2X}}{m_{2X}}} I_{n,n'}^{\Gamma X_2} \exp\left(-\frac{\epsilon_{n'}^{X_2} - \epsilon_1^{\Gamma}}{T}\right) \left. \right] + \frac{\pi e a^2 n_S^{\Gamma}}{\hbar T (1 - m_{1\Gamma}/m_{2X}) A_{\Gamma}} \left(1 - e^{-\frac{eEd}{T}}\right) \times \\ &\times \sum_{n,n'} \Theta\left(\epsilon_{n'}^{X_1} - \epsilon_n^{\Gamma} - \frac{eEd}{2}\right) |F_n^{\Gamma}(0)|^2 |F_{n'}^{X_1}(0)|^2 \exp\left(-\frac{\epsilon_{n'}^{X_1} - \epsilon_n^{\Gamma} - \frac{eEd}{2}}{T(1 - m_{1\Gamma}/m_{2X})} - \frac{\epsilon_n^{\Gamma} - \epsilon_1^{\Gamma}}{T}\right). \end{aligned} \quad (16)$$

Первое слагаемое в правой части (16) соответствует переносу с рассеянием на междолинных фононах, а второе — переносу за счет динамического механизма. Здесь  $\Theta(x)$  — ступенчатая функция, а величины  $I_{n,n'}^{\Gamma X'}$  и  $A_{\Gamma}$  определяются формулами

$$I_{n,n'}^{\Gamma X'} = \int_{-\infty}^{\infty} dz |F_n^{\Gamma}(z)|^2 |F_{n'}^{X'}(z)|^2; \quad A_{\Gamma} = \sum_n e^{-\frac{\epsilon_n^{\Gamma} - \epsilon_1^{\Gamma}}{T}}. \quad (17)$$

Выражение для тока  $j_{Tx}$  содержит экспоненциальные множители, связанные с пороговым характером ГХ-переноса: Г-электрон может перейти в X-долину X-полупроводника тогда, когда он обладает достаточной энергией. Таким образом, ток  $j_{Tx}$  является активационным током, т. е. возрастающим с увеличением температуры по приблизительному закону  $j_{Tx} \sim \exp(-\epsilon_{Tx}/T)$ , где  $\epsilon_{Tx}$  —

характерная пороговая энергия, примерно равная разности  $\epsilon_1^X - \epsilon_1^\Gamma - \frac{eEd}{2}$ . Из формулы (16) также видно, что для междолинного переноса по динамическому механизму (второе слагаемое) энергия активации, вообще говоря, больше указанной разности. Это связано с ограничениями, которые накладывает требование сохранения продольного волнового вектора  $\mathbf{k}$  для динамического механизма. Таким образом, междолинный токоперенос через ГХ-СР с размерноквантованными электронами идет в основном за счет рассеяния на междолинных X-фононах.<sup>1</sup>

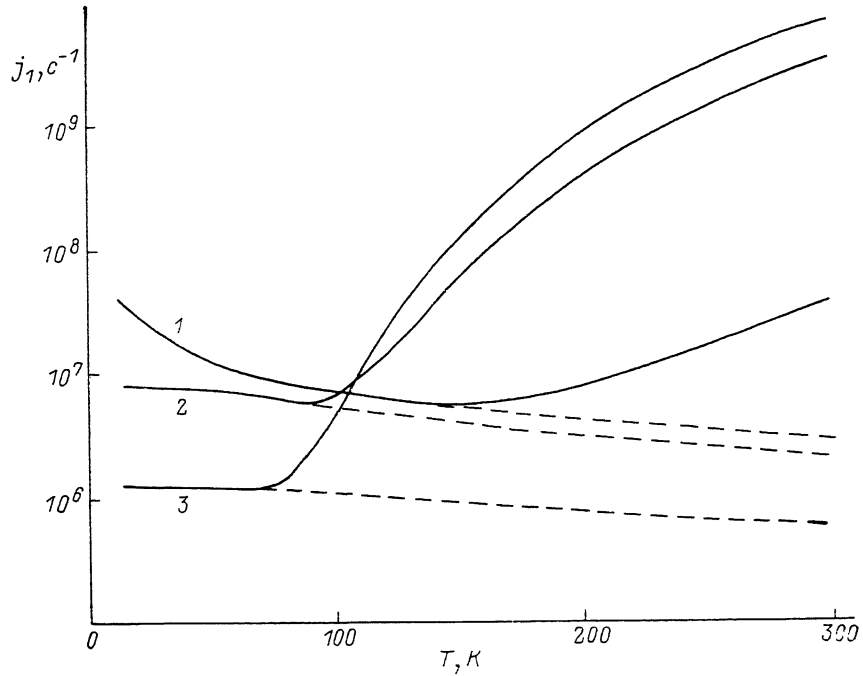


Рис. 2. Зависимость одноэлектронного тока  $j_1 = (j_\Gamma + j_{\text{ГХ}})/en_S^\Gamma$  от температуры для СР GaAs/AlAs 50/40 Å при различных смещениях  $eEd$ : 1 — 0.1, 2 — 10, 3 — 20 мэВ.

Штриховые линии соответствуют току в пренебрежении процессами ГХ-переноса.

Из формулы (16) можно сделать вывод о росте  $j_{\text{ГХ}}$  при увеличении поля  $E$ . Этот рост не прекращается и при  $eEd > T$ , поскольку в поле сближаются энергии квантования  $\Gamma$ - и  $X$ -подзон, и, следовательно, уменьшается энергия активации ГХ-переноса. Подчеркнем, что ток  $j_\Gamma$  в условиях  $eEd > \hbar/\tau_{1k}$ , напротив, уменьшается с ростом  $E$ , так как увеличение  $E$  выводит подзоны Г-электронов в соседних ямах из состояния резонанса [см. формулу (5)].

Таким образом, качественный анализ показывает, что условия, в которых ток ГХ-переноса  $j_{\text{ГХ}}$  будет преобладать над током  $j_\Gamma$ , могут быть реализованы: а) при увеличении толщины потенциальных барьеров  $l_2$ , б) при увеличении температуры  $T$ , в) при увеличении напряженности электрического поля  $E$ . Эти качественные соображения подтверждаются количественным расчетом, результаты которого для СР GaAs/AlAs с параметрами  $l_1 = 50$ ,  $l_2 = 40$  Å,  $N_s(z) = \text{const}(z) = 10^{18}$  см<sup>-3</sup> приведены на рис. 2 и 3. На рис. 2 изображены температурные зависимости тока в расчете на один электрон  $j_1 = (j_\Gamma + j_{\text{ГХ}})/en_S^\Gamma$  при нескольких значениях смещения  $eEd$ : 0.1, 10 и 20 мэВ. Из рисунка видно, что ток  $j_{\text{ГХ}}$  начинает давать заметный вклад в полный ток при температурах порядка 100—200 К, причем увеличение поля  $E$  уменьшает характерные температуры,

<sup>1</sup> Исключением являются ситуации, когда энергии квантования  $\epsilon_1^X$  и  $\epsilon_n^\Gamma$  близки [см. формулу (16)].

при которых  $j_{\text{rx}}$  становится существенным. На рис. 3 показаны полевые зависимости тока  $j_1$  при температурах 100 и 200 К. Для случая 100 К увеличение поля приводит к преобладанию  $j_{\text{rx}}$  над  $j_{\Gamma}$  при смещениях  $eEd \approx 15$  мэВ, а для случая 200 К  $j_{\text{rx}} > j_{\Gamma}$  уже при  $eEd \approx 1$  мэВ. При построении кривых на рис. 2, 3 ток  $j_{\text{rx}}$  вычислялся по формуле (16), а ток  $j_{\Gamma}$  находился численно с использованием (3)–(7). Обратный радиус экранирования кулоновского потенциала при меси оценивался по формуле  $q_0 \approx (4/3\pi N_i)^{1/3}$ . Отметим, что сравнительно простое аналитическое выражение для тока  $j_{\Gamma}$  можно получить для случая малых элек-

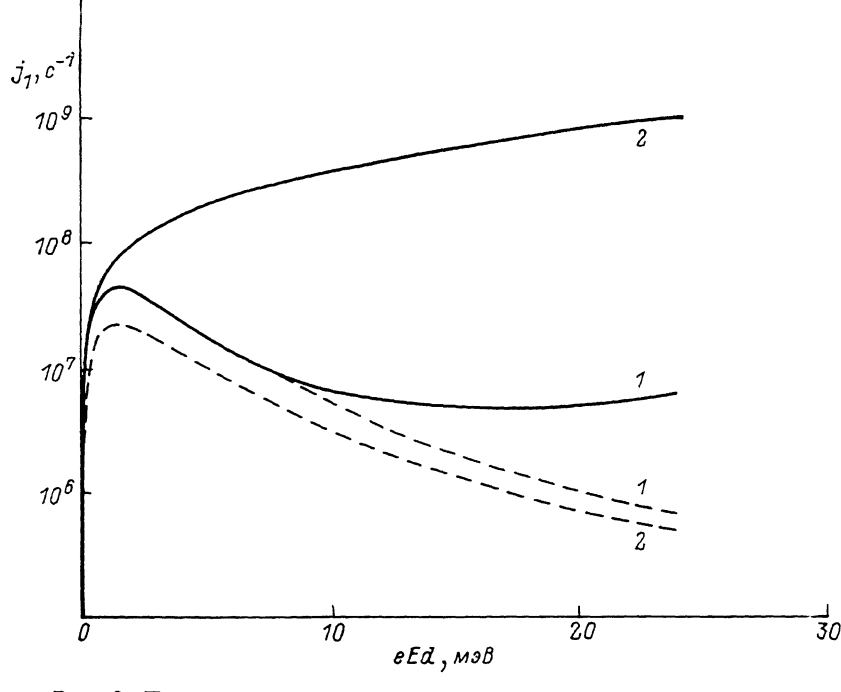


Рис. 3. Полевые зависимости тока  $j_1$  при различных температурах.

T, K: 1 — 100, 2 — 200. Параметры те же, что и на рис. 2.

трических полей при  $(q_0 d)^2 \ll 1$ ,  $\hbar^2 q_0^2 \ll 2m_{1\Gamma} T$ . Тогда, используя формулы (6), (7) и (9) и пренебрегая малосущественной зависимостью  $\gamma_{1k}^{\Gamma}$  от  $k$ , получим

$$\frac{1}{\pi_{1k}} = \frac{N_i d^2 m_{1\Gamma}}{8\pi\hbar^3} \left(\frac{4\pi e^2}{\epsilon_0}\right)^2 \frac{1}{k} \ln\left(\frac{8k}{q_0}\right), \quad (18)$$

$$j_{\Gamma}|_{E \rightarrow 0} \simeq E \frac{\epsilon_0^2 |\gamma_1^{\Gamma}|^2 n_s^{\Gamma}}{4\sqrt{2\pi} e^2 N_i d T^{1/2} m_{1\Gamma}^{1/2}} \left[ \ln\left(8 \sqrt{\frac{2m_{1\Gamma} T}{\hbar^2 q_0^2}}\right) \right]^{-1}. \quad (19)$$

4. В экспериментальной работе [17] исследовалась зависимость фототока через СР GaAs/AlAs ( $l_1=144$ ,  $l_2=34$  Å) при стационарном освещении с длиной волны 670 нм от приложенного напряжения для нескольких значений температуры. При увеличении температуры от 10 до 130 К ток (при заданном напряжении) уменьшался, но, начиная с 130 К, возрастал, причем относительное увеличение тока при изменении температуры от 220 до 290 К было весьма существенным: при  $E \approx 2 \cdot 10^4$  В/см ток возрастал более чем в 3 раза; при меньших полях относительное увеличение тока было меньшим (см. рис. 2 в работе [17]). Кроме того, в указанной работе по отклику фототока при импульсном фотовозбуждении непосредственно измерялось время транспорта электронов в этой же СР. Зависимость обратного времени транспорта  $1/\tau$  от температуры имела активационный характер. В [17] была предпринята попытка определения энергии активации по экспериментальным графикам  $\ln \tau$  как функции  $1/T$  путем подгонки

равенства  $\frac{1}{\tau} = \frac{1}{\tau_0} + \alpha \exp\left(-\frac{\epsilon_A}{T}\right)$  под экспериментальные данные. При этом для напряжений  $-3, -5, -8, -10$  В на СР (это соответствует смещениям  $eEd$ , равным  $91, 131, 191$  и  $231$  мэВ) были получены оценки энергии активации  $\epsilon_A$ , которые варьируются в пределах  $72$ – $86$  мэВ, а для напряжения  $-13$  В ( $eEd = -291$  мэВ) получено  $\epsilon_A \approx 63$  мэВ. Основываясь на этих цифрах, авторы работы [17] сделали вывод о том, что наблюдаемый активационный процесс связан с активацией транспорта электронов по второй Г-подзоне. В самом деле, в исследованной СР Г-слои являются широкими ( $144$  Å) и разность энергий квантования первой и второй Г-подзон невелика. Согласно теоретической оценке,  $\epsilon_2^G - \epsilon_1^G = 62$  мэВ, что согласуется с величиной  $60$ – $70$  мэВ, найденной по положению первого пика резонансного туннелирования. Видно, что найденные в [17] значения  $\epsilon_A$  превосходят энергию активации Г-транспорта по второй подзоне  $\epsilon_2^G - \epsilon_1^G$  (за исключением случая  $-13$  В). Кроме того, согласно нашим оценкам, Г-транспорт по второй подзоне не может обеспечить столь сильное увеличение обратного времени транспорта с ростом температуры, как то, что наблюдалось в [17] ( $1/\tau$  возрастало примерно на порядок при увеличении  $T$  от  $150$  до  $300$  К).

Скорее всего, наблюдаемый в [17] активационный процесс связан с активацией ГХ-переноса. Об этом, во-первых, свидетельствует сильное увеличение обратного времени транспорта с температурой, во-вторых, уменьшение с ростом поля энергии активации  $\epsilon_A$ . Наконец, экспериментальные оценки энергии активации при  $-8, -10$  и  $-13$  В близки к расчетным значениям энергии активации ГХ-переноса  $\epsilon_{GX} \approx \epsilon_1^{X_1} - \epsilon_1^G - \frac{eEd}{2}$ . Расхождение ( $\epsilon_A < \epsilon_{GX}$ ) имеет место при  $-3$  и  $-5$  В, что, по-видимому, следует объяснить погрешностью измерения либо неточностью применяемого в [17] метода оценки  $\epsilon_A$ . Действительно, подгонка осуществлялась всего по пяти экспериментальным точкам при  $100, 150, 200, 250$  и  $300$  К. Точки  $250$  и  $300$  К к тому же не укладывались на подгоночные кривые. Если находить энергии активации по этим двум точкам, то для всех смещений получаются большие значения  $\epsilon_A$ , чем те, что сообщались авторами [17]. Это фактически означает увеличение энергии активации при достаточно высоких температурах, что также является аргументом в пользу ГХ-переноса: при высоких температурах идет ГХ-перенос и через более высокие Х-подзоны.

Таким образом, быстрый рост тока и обратного времени транспорта при увеличении температуры, наблюдавшиеся в работе [17], следует отнести на счет активации ГХ-переноса. К сожалению, экспериментальные условия работы [17] (наличие фотовозбуждения, неравновесные носители, наличие «встроенного» электрического поля и др.) не допускают прямого количественного сравнения результатов [17] с результатами настоящей работы, и мы ограничиваемся приведенным выше качественным сопоставлением. Для изучения различных аспектов ГХ-переноса в сверхрешетках необходимы целенаправленные эксперименты.

В заключение отметим, что помимо рассмотренных в настоящей работе термоактивационных ГХ-токов в ГХ-СР могут течь туннельные ГХ-токи. При этом электрон преодолевает потенциальный Х-барьер путем ГХ-конверсии на передней гетерогранице, туннелирования под барьером в качестве Х-электрона и ХГ-конверсии на задней гетерогранице. Вероятность такого процесса пропорциональна квадрату вероятности ГХ-конверсии на гетерогранице и туннельной экспоненте  $\exp\left(-2l_2 \sqrt{\frac{2m_{2X}}{\hbar^2}(\Delta_0 - \epsilon)}\right)$ , где  $\epsilon$  — энергия туннелирующего электрона. Туннельный ГХ-ток может течь и при низких температурах. В принципе, соотношение параметров СР может быть таким, что при больших толщинах барьера  $l_2$  этот ток превысит ток  $j_T$ . Эксперимент по туннелированию через одиночные AlAs-барьеры при низких температурах [6] не выявил, однако, заметного вклада туннельного ГХ-тока при малых смещениях для барьера с толщиной  $19, 31$  и  $41$  Å.

Автор приносит благодарность З. С. Грибникову и Ф. Т. Васько за поддержку в работе и полезные замечания.

## Список литературы

- [1] Solomon P. M., Wright S. L., Lanza C. // Superlat. Microstr. 1986. V. 2. N 4. P. 501—505.
- [2] Price P. J. // Surf. Sci. 1988. V. 196. N 1-3. P. 394—398.
- [3] Грибников З. С., Райчев О. Э. // ФТП. 1989. Т. 23. В. 12. С. 2171—2178.
- [4] Грибников З. С., Райчев О. Э. // ФТП. 1990. Т. 24. В. 7. С. 1222—1226.
- [5] Mendez E. E., Calleja E., Wang W. I. // Appl. Phys. Lett. 1988. V. 53. N 11. P. 977—979.
- [6] Landheer D., Liu H. C., Buchanan M., Stoner R. // Appl. Phys. Lett. 1989. V. 54. N 18. P. 1784—1786.
- [7] Liu H. C. // Appl. Phys. Lett. 1987. V. 51. N 13. P. 1019—1021.
- [8] Marsh A. C. // Semicond. Sci. Techn. 1986. V. 1. N 5. P. 320—326.
- [9] Ko D. Y. K., Inkson J. C. // Phys. Rev. B. 1988. V. 38. N 14. P. 9945—9951.
- [10] Bonnefond A. R., McGill T. C., Burnham R. D., Anderson G. B. // Appl. Phys. Lett. 1987. V. 50. N 6. P. 344—346.
- [11] Mendez E. E., Wang W. I., Calleja E., Goncalves da Silva C. E. T. // Appl. Phys. Lett. 1987. V. 50. N 18. P. 1263—1265.
- [12] Казаринов Р. Ф., Сурис П. А. // ФТП. 1972. Т. 6. В. 1. С. 148—162.
- [13] Movaghari B., Leo J., MacKinnon A. // Semicond. Sci. Techn. V. 3. N 6. P. 397—410.
- [14] Calecki D., Palmier J. F., Chomette A. // J. Phys. C. 1984. V. 17. P. 5017—5030.
- [15] Feldmann J., Sattman K., Göbel E. O., Nunnenkamp J., Kuhl J., Hebling J., Ploog K., Muralidharan R., Dawson P., Foxon C. T. // Sol. St. Electron. 1989. V. 32. N 12. P. 1713—1717.
- [16] Ando T., Akera H. // Phys. Rev. B. 1989. V. 40. N 17. P. 11619—11633.
- [17] Schneider H., von Klitzing K., Ploog K. // Superlat. Microstr. 1989. V. 5. N 3. P. 383—396.

Институт полупроводников АН УССР  
Киев

Получена 25.01.1991  
Принята к печати 26.03.1991